

EL NIÑO/OSCILACIÓN DEL SUR (ENSO, por sus siglas en inglés) DISCUSIÓN DIAGNÓSTICA

emitida por el

CENTRO DE PREDICIONES CLIMÁTICAS/NCEP/NWS
y el Instituto Internacional de Investigación para el Clima y la Sociedad
Traducción cortesía del: NWS-WFO SAN JUAN, PUERTO RICO
13 de agosto de 2015

Estatus del Sistema de alerta del ENSO: Advertencia de El Niño

Sinopsis: Existe una probabilidad mayor de 90% de que El Niño continuará durante el invierno del hemisferio Norte de 2015-16 y alrededor de 85% de probabilidad de que persista hasta principios de la primavera de 2016.

Durante julio, las anomalías en las temperaturas de la superficie del océano (SST, por sus siglas en inglés) estuvieron cerca de +1.0°C en el Océano Pacífico central ecuatorial, y en exceso de +2.0°C a través del Pacífico oriental (Fig. 1). Las anomalías del SST aumentaron en el Niño-3 y Niño-3.4, mientras los índices de el Niño -4 y Niño-1+2 disminuyeron levemente durante el mes (Fig. 2). Anomalías positivas en la temperatura en la subsuperficie se fortalecieron en el centro y centro-ecuatorial del Pacífico durante el mes (Fig. 3), en asociación con el movimiento hacia el este de una subsidencia de una onda Kelvin oceánica (Fig. 4). La atmósfera permaneció combinada con el calentamiento oceánico, resultando en anomalías significativas en los vientos del oeste de los niveles bajos continuando desde el oeste hacia el este-central del Pacífico ecuatorial, junto con anomalías en los vientos del este en los niveles altos. Además, el Índice de Oscilación Sur (SOI, por sus siglas en inglés) tradicional y ecuatorial fueron negativas, consistentes con el aumento en la convección sobre el centro y este del Pacífico ecuatorial y con la convección suprimida sobre Indonesia (Fig. 5). Colectivamente, estos patrones atmosféricos y oceánicos reflejan un El Niño significativo y en fortalecimiento.

Todos los modelos predicen que El Niño continuará hasta la primavera 2016 del Hemisferio Norte, y todos los promedios de multi-modelos predicen un evento fuerte en su máximo a finales de otoño/principios de invierno (valores de 3-meses del índice de Niño-3.4 de +1.5°C o mayor; Fig. 6). En este momento, el consenso unánime de los pronosticadores favorece El Niño fuerte, con un máximo en las desviaciones en la SST de 3-meses en el Niño 3.4 potencialmente cerca o excediendo +2.0°C. En general, existe una probabilidad mayor de 90% de que El Niño continuará hasta el invierno 2015-16 del Hemisferio Norte, y cerca de 85% de probabilidad de que persistirá hasta principios de la primavera 2016 (presione [CPC/IRI consensus forecast](#) para la probabilidad de cada resultado de cada periodo de 3-meses).

A través de los Estados Unidos contiguos, los impactos en la temperatura y precipitación asociados con El Niño, deben permanecer mínimos durante el resto del verano del Hemisferio Norte y aumentando hasta finales de otoño e invierno ([3-month seasonal outlook](#) será actualizada el jueves 20 de Agosto). El Niño probablemente contribuirá a una temporada de huracanes del Atlántico bajo lo normal, y temporadas de huracanes sobre lo normal en las cuencas del Pacífico central y ecuatorial (presione [Hurricane season outlook](#) para más información).

Esta discusión es un esfuerzo consolidado de la Administración Nacional Oceánica y Atmosférica (NOAA, por sus siglas en inglés), el Servicio Nacional de Meteorología de NOAA y sus instituciones afiliadas. Las condiciones oceánicas y atmosféricas son actualizadas semanalmente en la página de Internet del Centro de Predicciones Climáticas ([Condiciones actuales de El Niño/La Niña y La Discusión de Expertos](#)). De igual forma, los pronósticos para la evolución de El Niño/La Niña son actualizados mensualmente en la sección [Foro de Pronóstico](#) del Boletín de Diagnóstico Climático del Centro de Predicciones Climáticas (CPC, por sus siglas en inglés). Perspectivas y análisis adicionales también están disponibles en un [ENSO blog](#). La próxima Discusión Diagnóstica del ENSO está programada para el 10

de septiembre de 2015. Para recibir una notificación por e-mail al momento en que la Discusión Diagnóstica del ENSO mensual esté disponible, favor enviar un mensaje a: ncep.list.enso-update@noaa.gov.

Centro de Predicciones Climáticas
Centros Nacionales de Predicción Ambiental
NOAA / Servicio Nacional de Meteorología
College Park, MD 20740

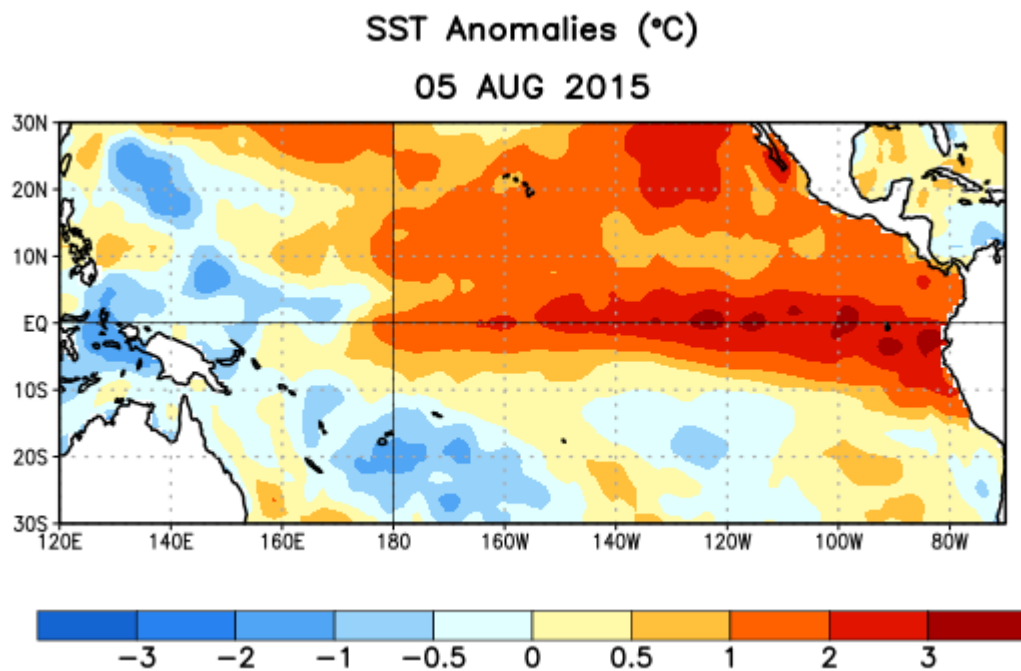


Figura 1. Anomalías (°C) promedio de la temperatura de la superficie del mar (SST, por sus siglas en inglés) para la semana centrada el 5 de agosto de 2015. Las anomalías son calculadas utilizando como referencia base los periodos promedio semanales de 1981-2010.

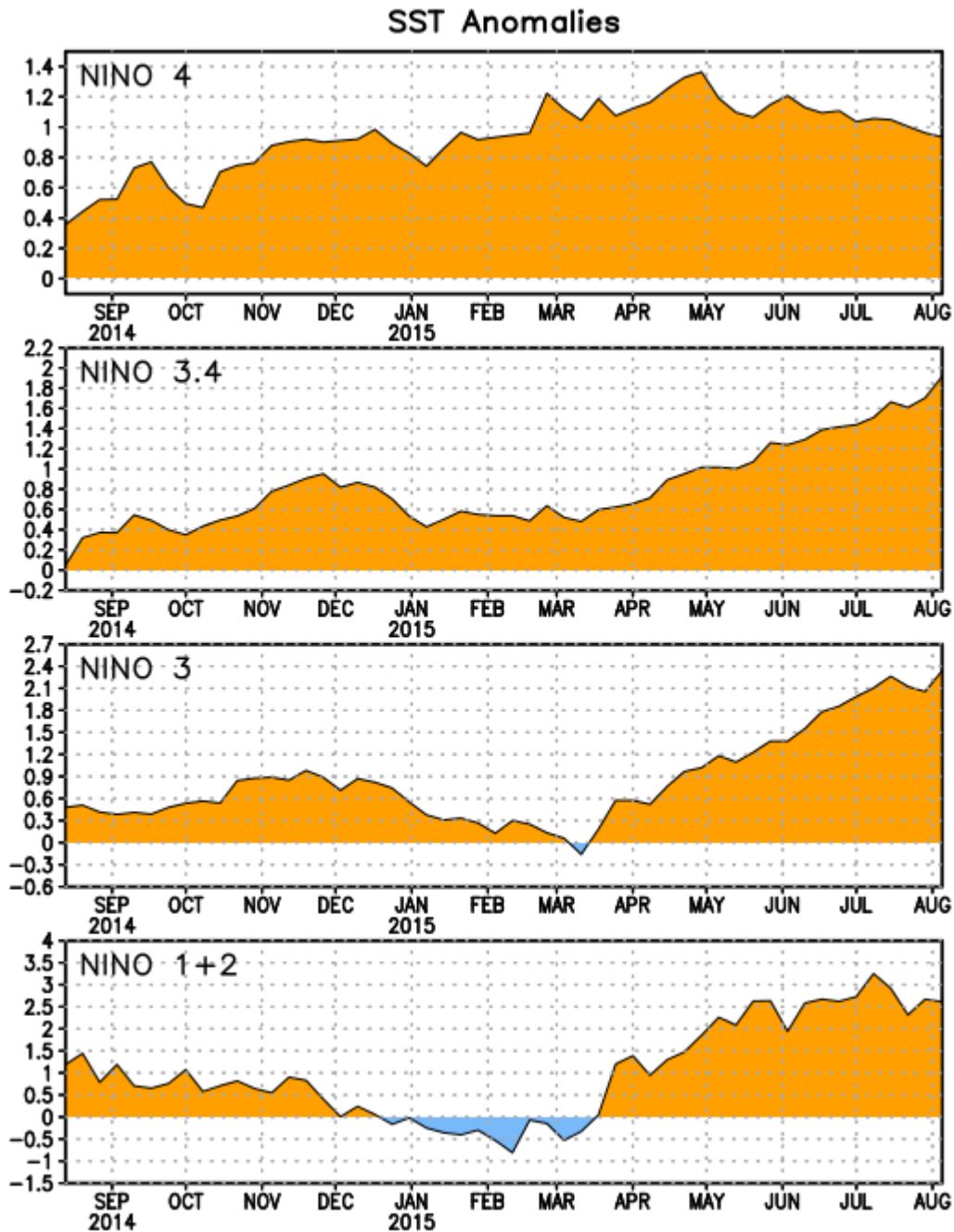


Figura 2. Series de Tiempo de las anomalías (en °C) de temperaturas de la superficie del océano (SST) en un área promediada en las regiones de El Niño [Niño-1+2 (0°-10°S, 90°W-80°W), Niño 3 (5°N-5°S, 150°W-90°W), Niño-3.4 (5°N-5°S, 170°W-120°W), Niño-4 (150°W-160°E y 5°N-5°S)]. Las anomalías de SST son variaciones de los promedios semanales del período base de 1981-2010.

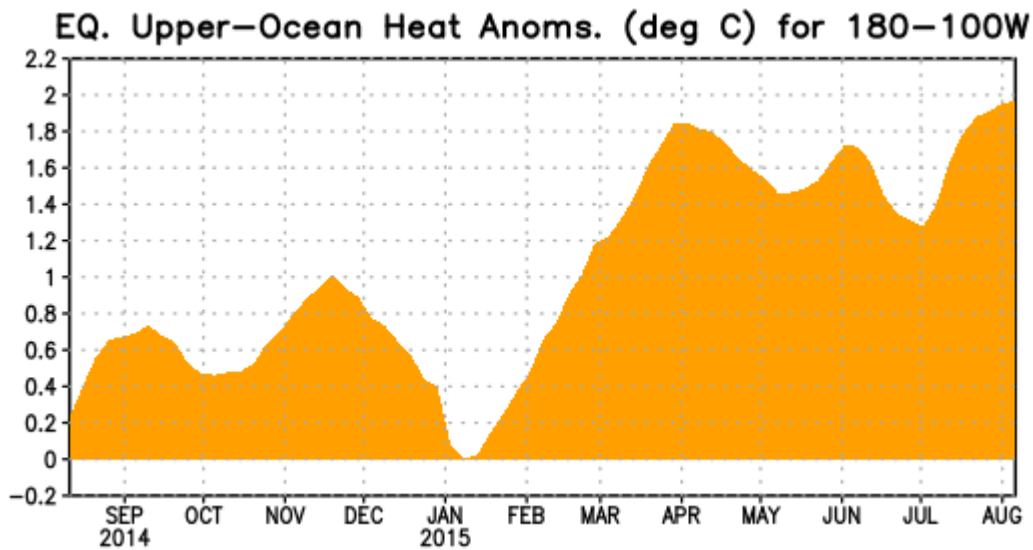


Figura 3. Anomalías del contenido calórico (en °C) en un área promediada del Pacífico ecuatorial (5°N-5°S, 180°-100°W). Las anomalías en el contenido calórico son calculadas como las desviaciones de los penta-promedios del período base de 1981-2010.

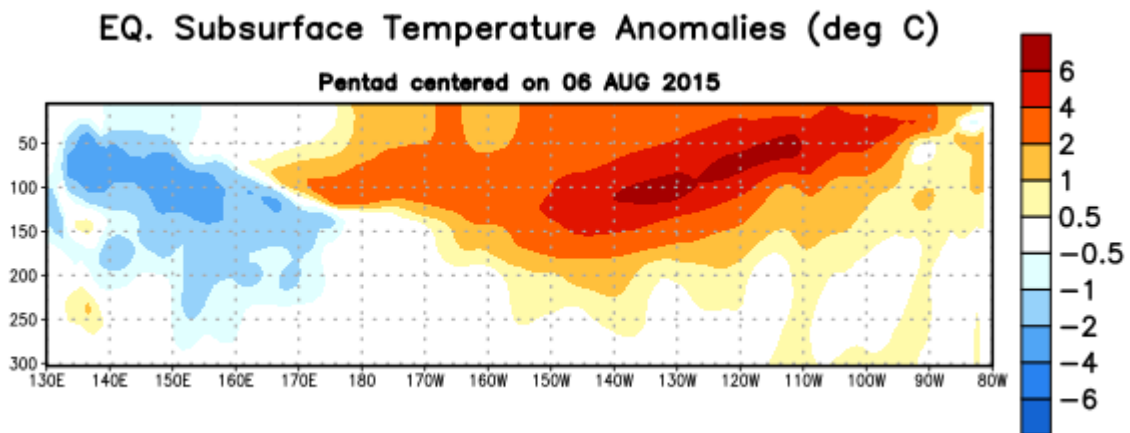


Figura 4. Anomalías de la temperatura (en °C) en un sector de profundidad-longitudinal (0-300m) en la parte superior del océano Pacífico ecuatorial, centradas en la semana del 6 de agosto de 2015. Las anomalías son promediadas entre 5°N-5°S. Las anomalías son variaciones de los promedios semanales del período base de 1981-2010.

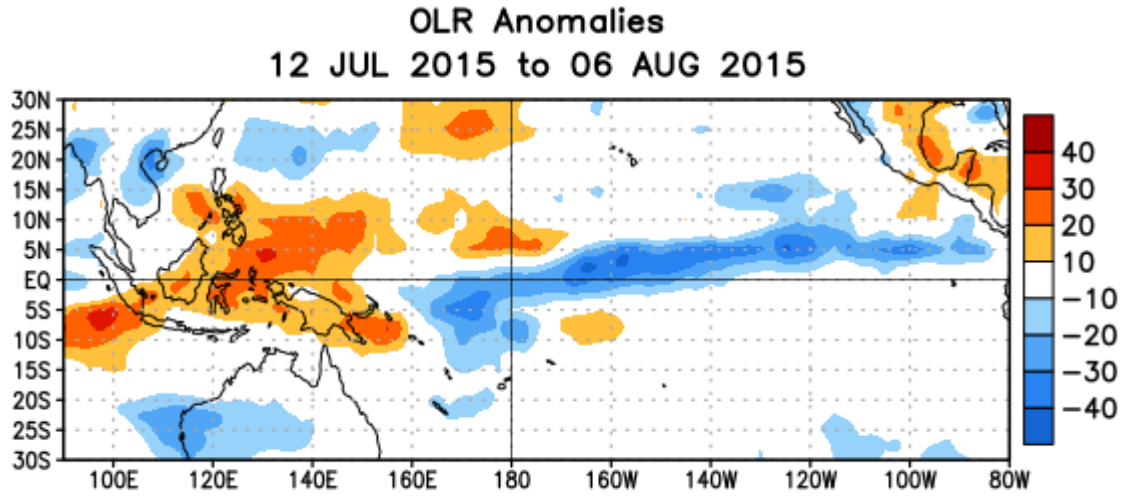


Figura 5. Anomalías del promedio de la radiación de onda larga emitida (OLR, por sus siglas en inglés) (W/m^2) para el período del 12 de julio – 6 de agosto de 2015. Las anomalías de OLR se calculan como desviaciones de los penta-promedios del período de 1979-1995.

Mid-Jul 2015 Plume of Model ENSO Predictions

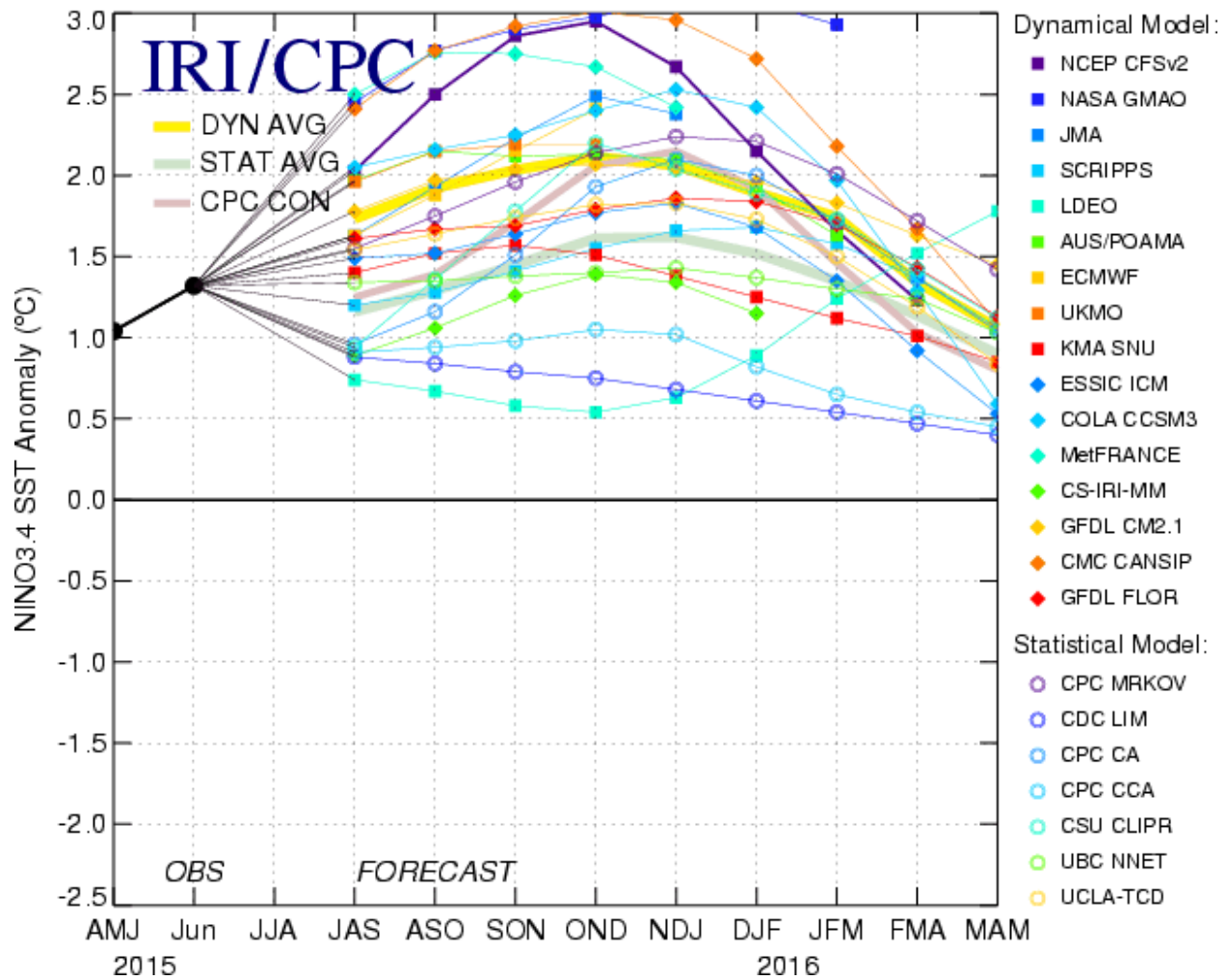


Figura 6. Pronósticos de las anomalías de la temperatura de la superficie del océano (SST) para la región de El Niño 3.4 (5°N-5°S, 120°W-170°W). Figura actualizada el 14 de julio de 2015.